

図-3 壁面変位と壁面側圧の関係

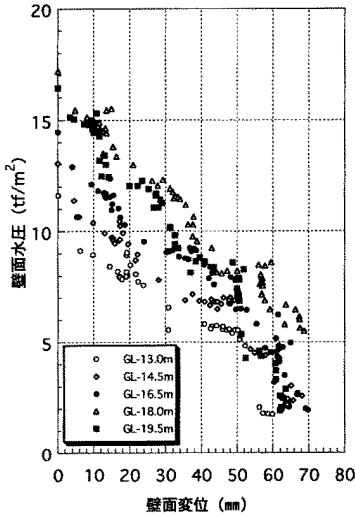


図-4 壁面変位と壁面水圧の関係

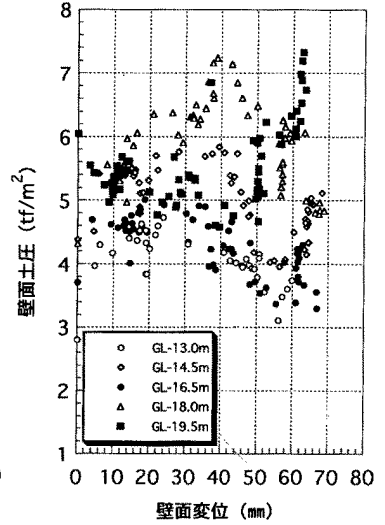


図-5 壁面変位と壁面土圧の関係

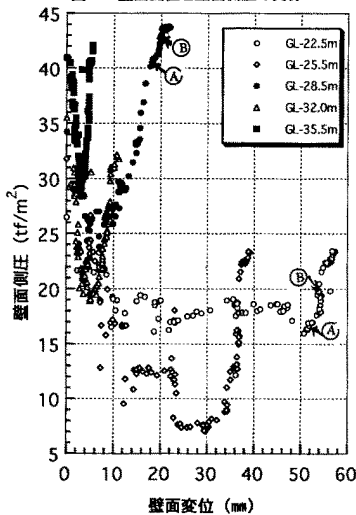


図-7 壁面変位と壁面側圧の関係

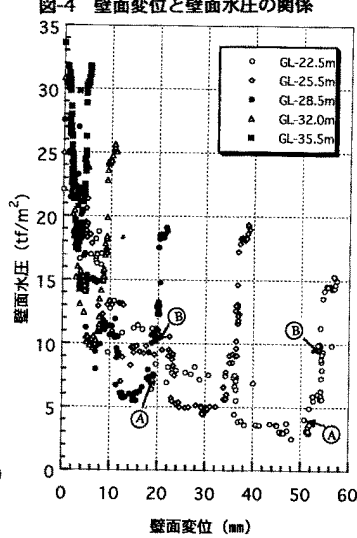


図-8 壁面変位と壁面水圧の関係

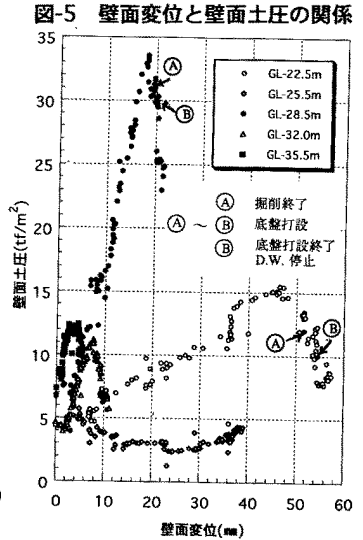


図-9 壁面変位と壁面土圧の関係

次に、洪積層におけるG.L. -22.5~35.5mの5測点での壁面変位と壁面側圧、壁面水圧、壁面土圧の関係を図-7、8、9に示す。最大受働抵抗の発現の状態は土質条件によって異なっている。例えば、粘性土の多いG.L. -22.5m(粘土混り砂)測点では46mm程度の壁面変位で、砂層のG.L. -28.5mでは19mm程度の壁面で最大壁面土圧が生じている。なお、図中の(A)点は掘削終了時、(B)点は底盤施工終了後のディープウェル運転停止時を示している。

【参考文献】

- 1) 玉野・福井他：軟弱粘性土地盤における土留め背面側断面に作用する土圧・水圧の力学挙動，土木学会論文集投稿中
- 2) H.Tanaka: Behavior of a braced excavation in soft clay and the undrained shear strength for passive pressure, Soils and Foundations, Vol. 34, No.1, pp.53-64, Mar.1994.